



浙江大学
ZHEJIANG UNIVERSITY

数字信号处理

主讲人：金浩然 研究员

电话：13645717238

办公室：开物苑3-232



数字信号处理

- 一、数字信号处理的基本步骤**
- 二、信号数字化出现的问题**
- 三、离散傅里叶变换**

数字信号处理的基本步骤



数字信号处理的基本步骤

研究信号的构成和特征值称为信号分析；

把信号经过必要的加工变换，以获得有用信息的过程称为信号处理。

由以上定义可知，信号分析并不影响信号本身的结构，而信号处理则有可能改变信号本身的结构。

信号分析和处理的方法主要有模拟分析方法和数字处理分析方法。

数字信号处理可以在专用计算机上进行，也可以在通用计算机上实现。

数字信号处理的基本步骤

模拟信号与数字信号处理系统

模拟信号处理系统由一系列能实现模拟运算的电路，诸如模拟滤波器、乘法器、微分放大器等环节组成。模拟信号处理也作为任何数字信号处理的前奏，例如滤波、限幅、隔直、解调等预处理。数字处理之后也常需作模拟显示、记录。

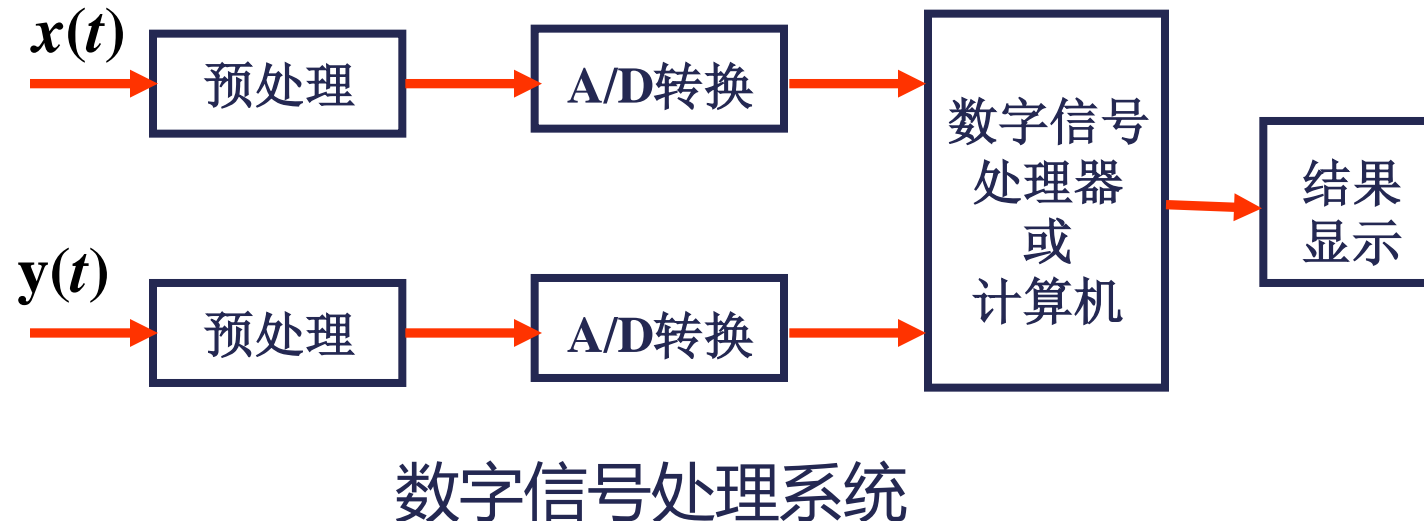
数字信号处理是用数字方法处理信号，它既可在通用计算机上借助程序来实现，也可以用专用信号处理机来完成。数字信号处理具有稳定、灵活、快速、高效、应用范围广、设备体积小重量轻等优点，在各行业中得到广泛的应用。

数字信号处理的基本步骤

数字信号处理基本步骤

用数字序列表示信号，并用数字计算方法对这些序列进行处理，称为数字信号处理。

数字信号处理的基本步骤



数字信号处理的基本步骤

1) 预处理

信号的预处理把信号变成适于数字处理的形式, 以减轻数字处理的困难。预处理包括 :

- (1) 电压幅值调理, 以便适于采样。
- (2) 必要的滤波, 以提高信噪比, 并滤去信号中的高频噪声。
- (3) 隔离信号中的直流分量。
- (4) 如原信号经过调制, 则应先行解调。

数字信号处理的基本步骤

2) A/D 转换

模-数 (A/D) 转换是模拟信号经采样、量化并转化为二进制数的过程。

3) 信号处理

数字信号处理器对离散的时间序列进行运算处理。计算机只能处理有限长度的数据,所以首先要把长时间的序列截断,对截取的数字序列有时还要进行加权(乘以窗函数)以成为新的有限长的序列。对数据中的奇异点(由于强干扰或信号丢失所引起的数据突变)应予以剔除。对温漂、时漂等系统性干扰所引起的趋势项(周期大于记录长度的频率成分)也应予以分离。如有必要,还可以设计专门的程序来进行数字滤波。然后把数据按给定的程序进行运算,完成各种分析。

数字信号处理的基本步骤

4) 结果显示

运算结果可以直接显示或打印。如果后接 D/A 和记录仪则可以绘图等。如有需要可将数字信号处理结果送入后接计算机或通过专门程序再做后续处理。

信号数字化过程中存在的问题



信号数字化过程中存在的问题

1. 时域采样→混叠
2. 量化→量化误差
3. 时域截断→泄漏
4. 频域采样→栅栏效应

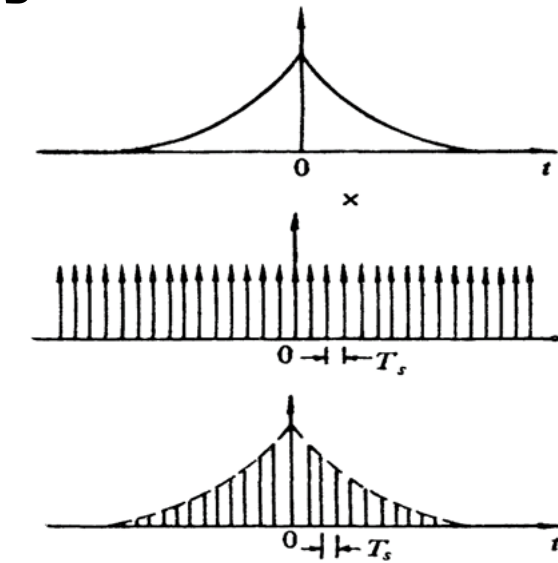
信号数字化过程中存在的问题

1. 时域采样、混叠和采样定理

采样：连续时间信号离散化的过程。

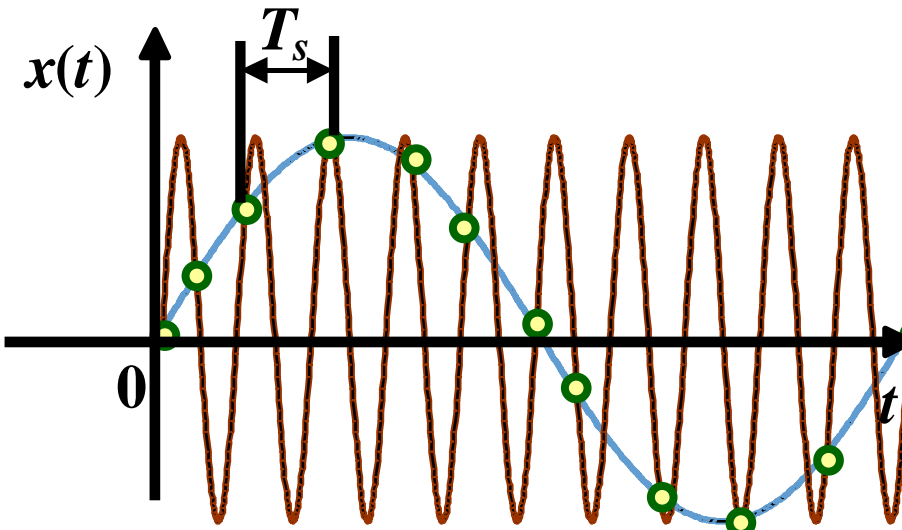
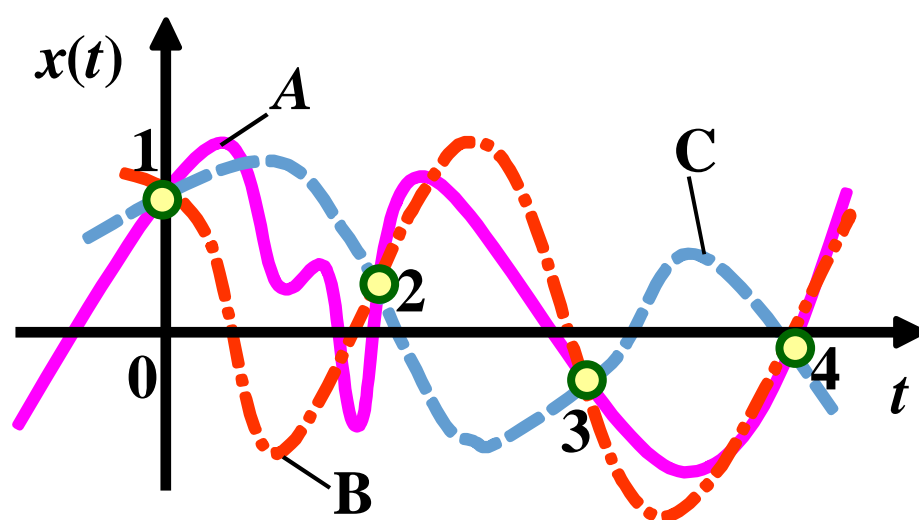
设采样时间间隔为 T_s ，则 $x(t)$ 经采样后的离散序列 $x_s(t)$ 为：

$$\begin{aligned}x_s(t) &= x_a(t) \sum_{n=-\infty}^{\infty} \delta(t - nT_s) = \sum_{n=-\infty}^{\infty} x_a(t) \cdot \delta(t - nT_s) \\&= \sum_{n=-\infty}^{\infty} x_a(nT_s) \cdot \delta(t - nT_s)\end{aligned}$$



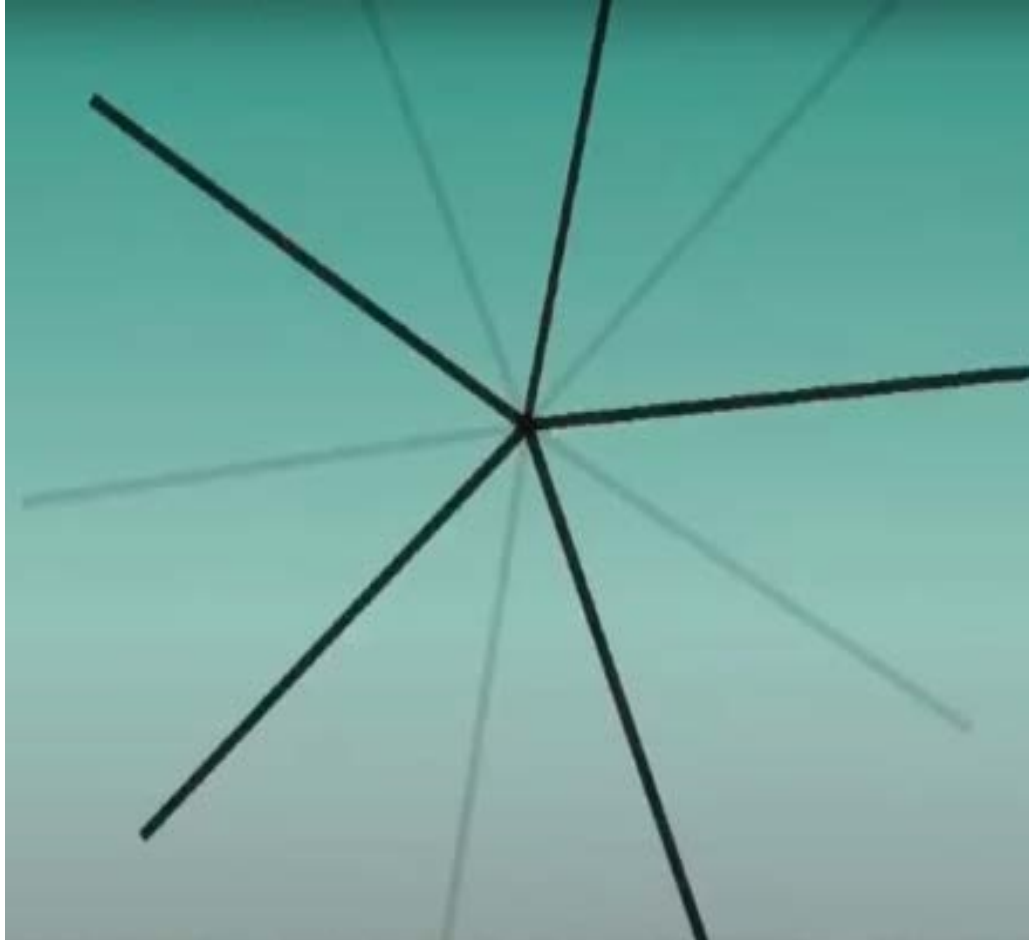
$x_s(t)$ 与 $x(t)$ 是局部与整体的关系。显然，能否由 $x_s(t)$ 唯一确定或恢复出 $x(t)$ ，或能否通过对 $x_s(t)$ 的分析获得 $x(t)$ 的全部信息是采样最关心的问题。

信号数字化过程中存在的问题

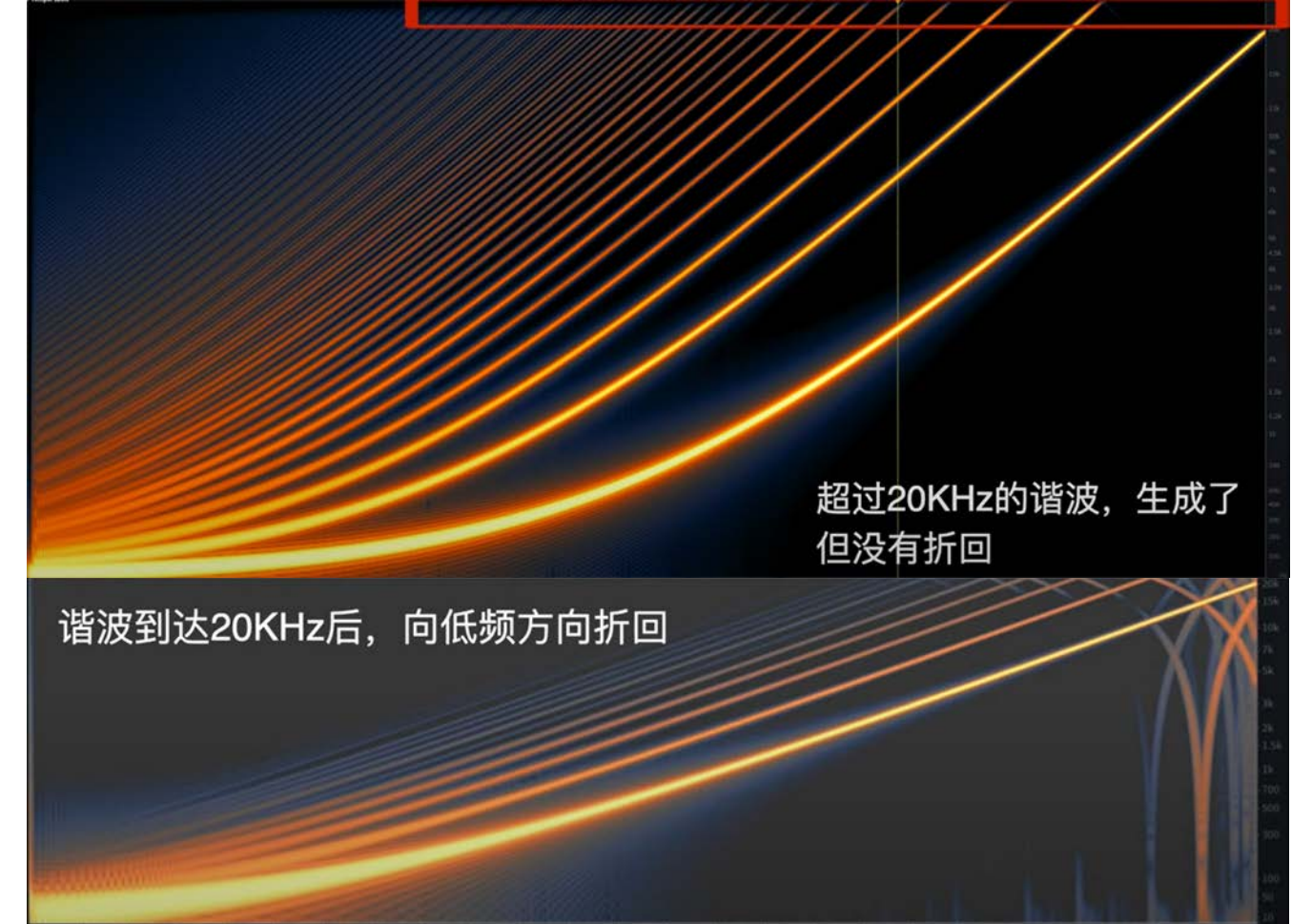


混叠现象举例

信号数字化过程中存在的问题



视觉混叠



音频混叠

信号数字化过程中存在的问题

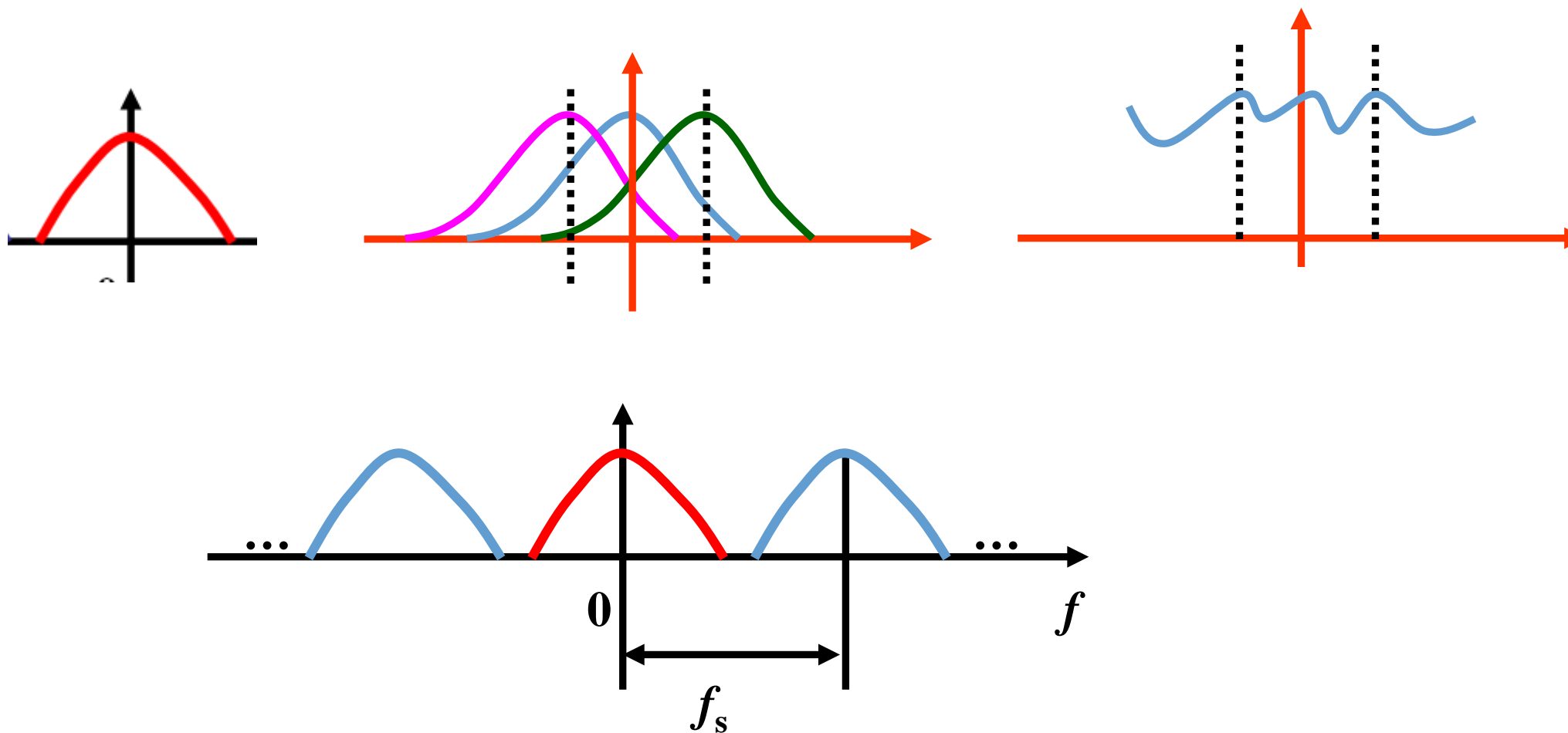
$$p(t) = \sum_{n=-\infty}^{\infty} \delta(t - nT_s) \Leftrightarrow P(f) = \frac{1}{T_s} \sum_{r=-\infty}^{\infty} \delta\left(f - \frac{r}{T_s}\right)$$

$$x(t)p(t) \Leftrightarrow X(f) * P(f)$$

所以 $F[x_s(t)] = X(f) * P(f) = \frac{1}{T_s} \sum_{r=-\infty}^{\infty} X\left(f - \frac{r}{T_s}\right)$

即采样信号 $x_s(t)$ 的频谱是无穷多个原始信号频谱放大 $1/T_s$ 倍后，以采样频率 f_s 为周期重复叠加而成。若频谱叠加出现局部重叠，则合成的总频谱将失去原信号 $x(t)$ 单独频谱的波形形状，虽经滤波也不能获得 $x(t)$ 的正确频谱，在时域也无法恢复原波形造成失真。

信号数字化过程中存在的问题



信号数字化过程中存在的问题

由图可见，混叠总是出现在 $f = f_s/2$ 左右两侧的频率处，混叠的后果是原来的高频信号将被误认为是某种相应的低频信号。

如果 $f_m \leq 1/2 T_s$ ，即 $f_s \geq 2f_m$ 就不会出现混叠现象。

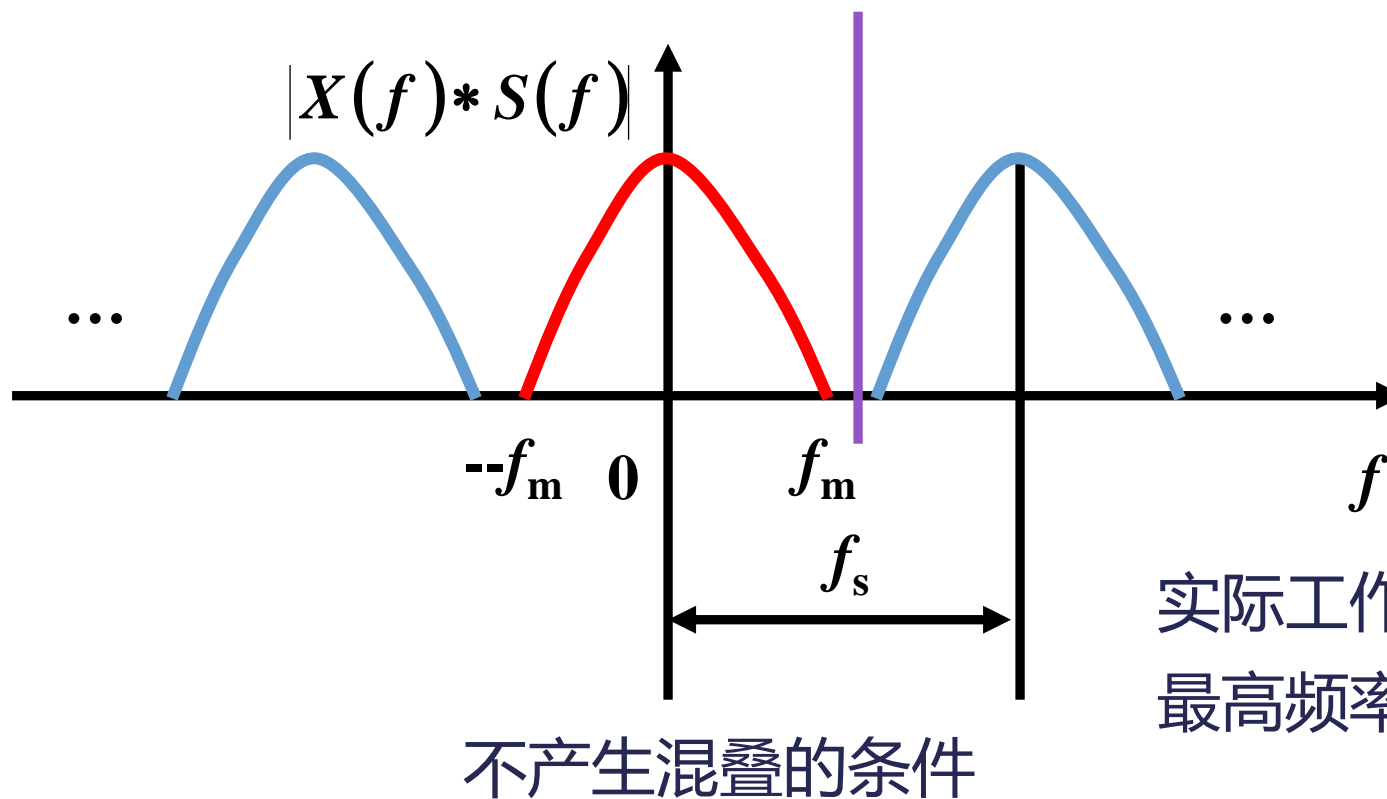
这就是采样定理。

最低采样频率值 $f_{s\min} = 2f_m$ 称为Nyquist采样频率，也称为折叠频率。

采样定理 $\implies f_s \geq 2f_m$

信号数字化过程中存在的问题

显然，若原始信号是带限信号，则采样后信号频谱不发生重叠的条件为： $f_s \geq 2f_m$ (如下图)。

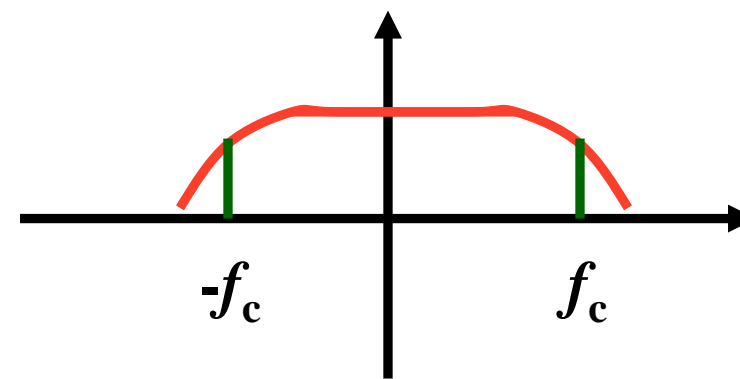


实际工作中， f_s 常取为信号最高频率的3~4倍。

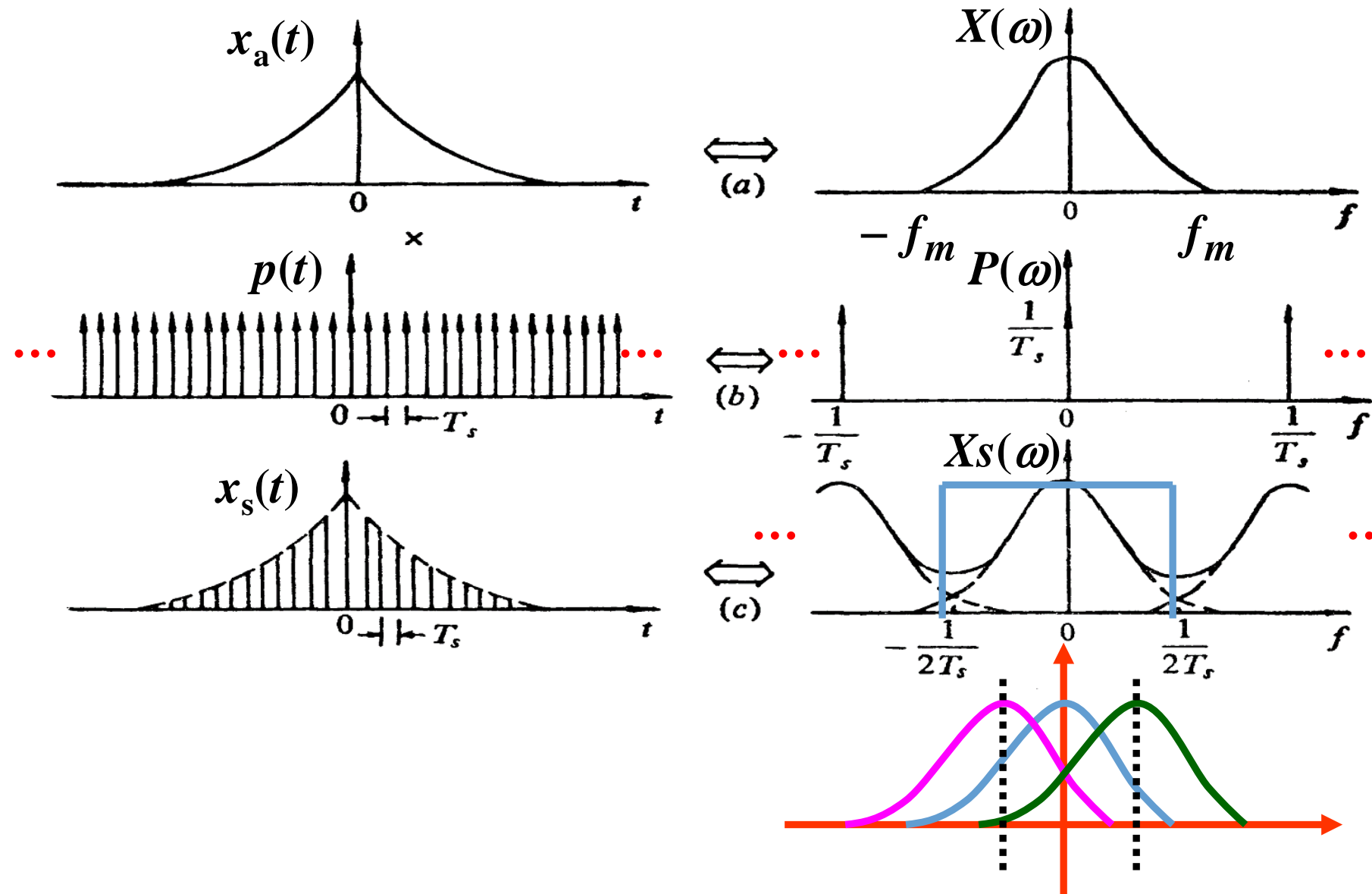
信号数字化过程中存在的问题

消除混叠的措施

- ① 提高采样频率 f_s 。但提高采样频率将导致在同样信号长度下，采样点数 M 随之提高，增加计算负担。
- ② 应用抗混滤波器降低信号中的最高频率 f_m 。从理论上讲，由于抗混滤波器的非理想特性，信号中高频分量不可能完全衰减，因此不可能彻底消除混叠。



信号数字化过程中存在的问题



信号数字化过程中存在的问题

2. 量化与量化误差

模拟信号经采样后得到的离散信号转变为数字信号（幅值离散化）的过程称为**量化**。由此引起的误差称为**量化误差**。

量化由A/D转换器实现，量化误差取决于其分辨力。若A/D转换器的位数（字长）为 b （二进制输出，最高位为符号位，实际字长为 $b-1$ ），允许的动态工作范围为D（如 $\pm 5V$, $\pm 10V$ 或 $0\sim 5V$, $0\sim 10V$ 等），则A/D幅值离散化的间隔为：

$$q = D / 2^{b-1} \text{ 看是否设置符号位}$$

$$\text{最大量化误差的绝对值为: } e = D / 2^b$$

信号数字化过程中存在的问题

一般，量化误差可以忽略，如12位A/D在动态范围为 $\pm 10V$ 时的量化误差为： $\pm 2.44mV$ ，满量程（10V）时的相对误差为0.0244%，若将量化误差视为噪声，则此时信噪比为：

$$20 \log \frac{10}{2.44 \times 10^{-3}} = 72dB$$

出现的问题

量化噪声

相应的对策

提高A/D的位数

信号数字化过程中存在的问题

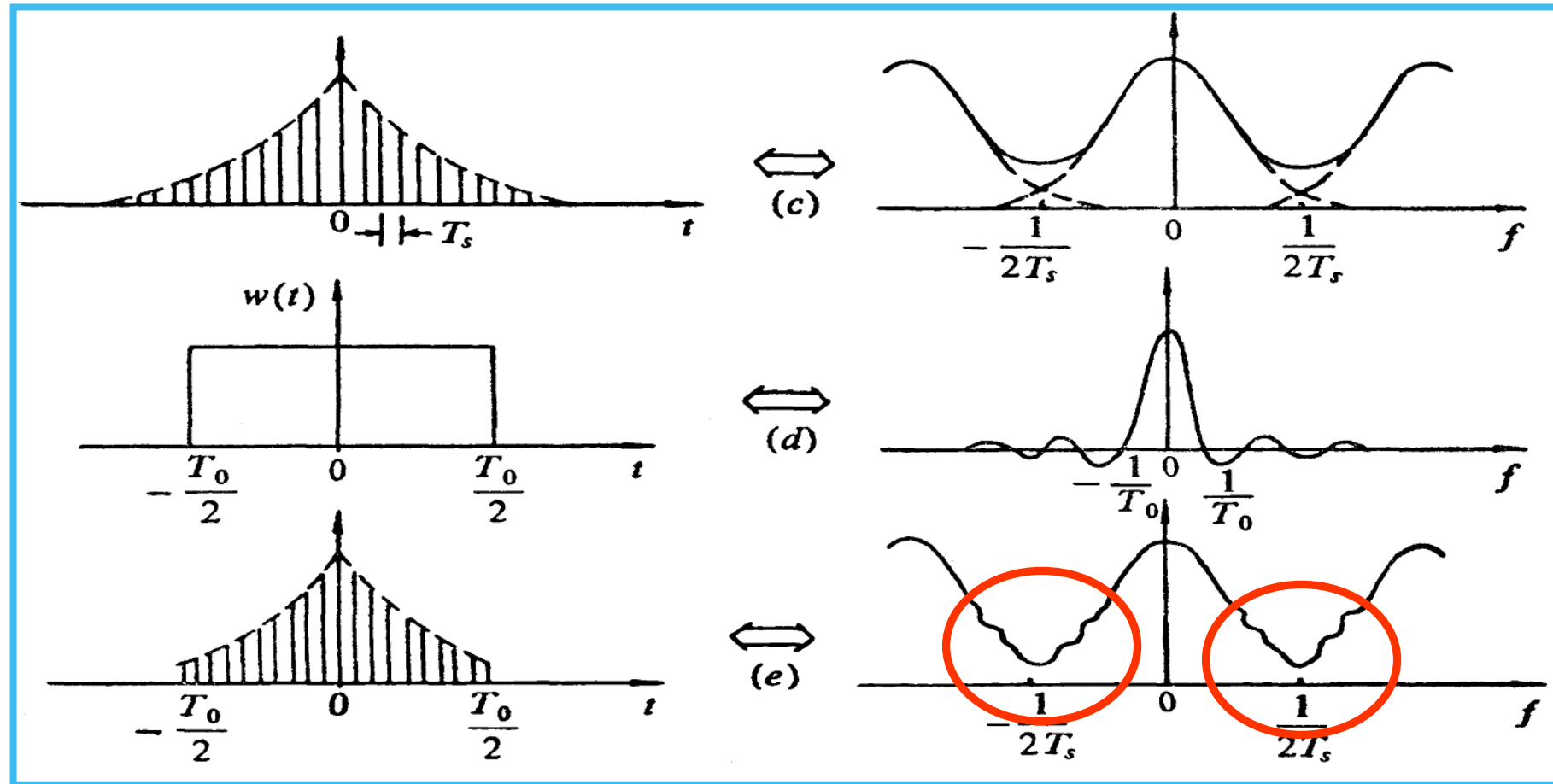
3. 截断、泄漏和窗函数

计算机处理的数据长度是有限的，进行数字信号处理必须对过长时间历程的信号进行截断处理。截断相当于对信号进行加窗处理，如无特殊要求，通常截断即是将信号乘以时域的有限宽矩形窗函数：

$$w(t) = \begin{cases} 1 & |t| < T/2 \\ 0 & |t| > T/2 \end{cases}$$

即：采样后信号 $x(t)p(t)$ 经截断成为 $x(t)p(t)w(t)$ 。

信号数字化过程中存在的问题



信号数字化过程中存在的问题

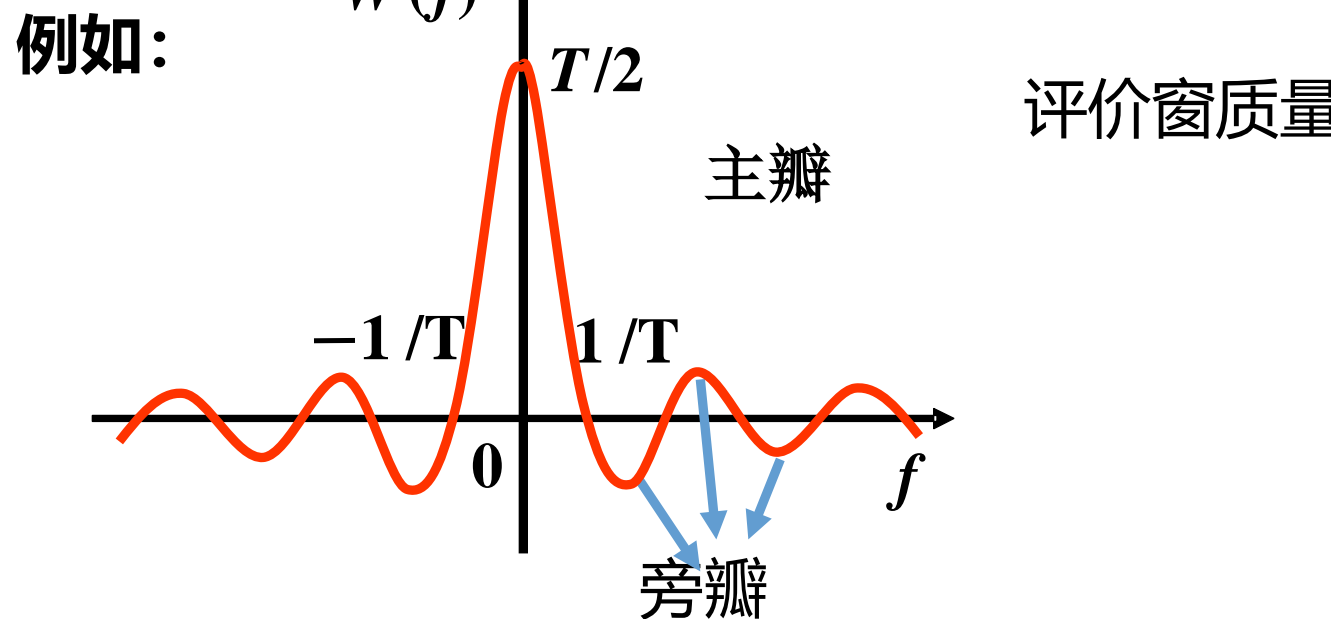
由于矩形窗函数的频谱为无限带宽的sinc函数，所以即使 $x(t)$ 为带限信号，经截断后必然成为无限带宽信号，这种信号的能量在频率轴分布扩展的现象(Gibbis现象)称为泄漏。显然，此时无论采样频率多高，信号总是不可避免地出现混叠，引起失真。

减小泄漏的措施

- ① 提高截断信号长度，即提高矩形窗宽度，此时sinc函数主瓣变窄，旁瓣向主瓣密集，由于旁瓣衰减较快，故可减小泄漏，但显然采样点数随之提高，增加计算负担。

信号数字化过程中存在的问题

② 采用其它窗函数。一个好的窗函数应当：主瓣尽可能窄（提高频率分辨率）、旁瓣相对于主瓣尽可能小，且衰减快（减小泄漏）。但实际上的窗函数总是二者不可兼得，应视使用目的而决定采用什么样的窗函数。

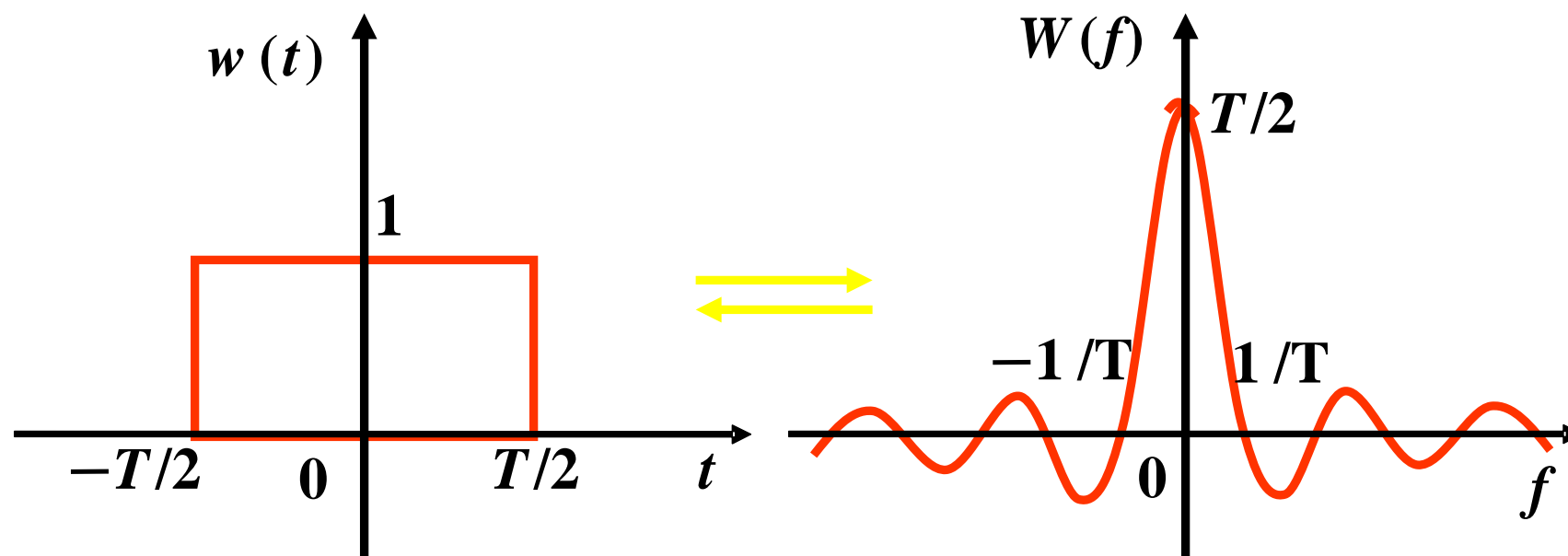


信号数字化过程中存在的问题

常用窗函数

1、矩形窗

$$w(t) = \begin{cases} 1 & |t| < T/2 \\ 0 & |t| > T/2 \end{cases} \quad \leftrightarrow \quad W(f) = T \operatorname{sinc}(\pi f T)$$

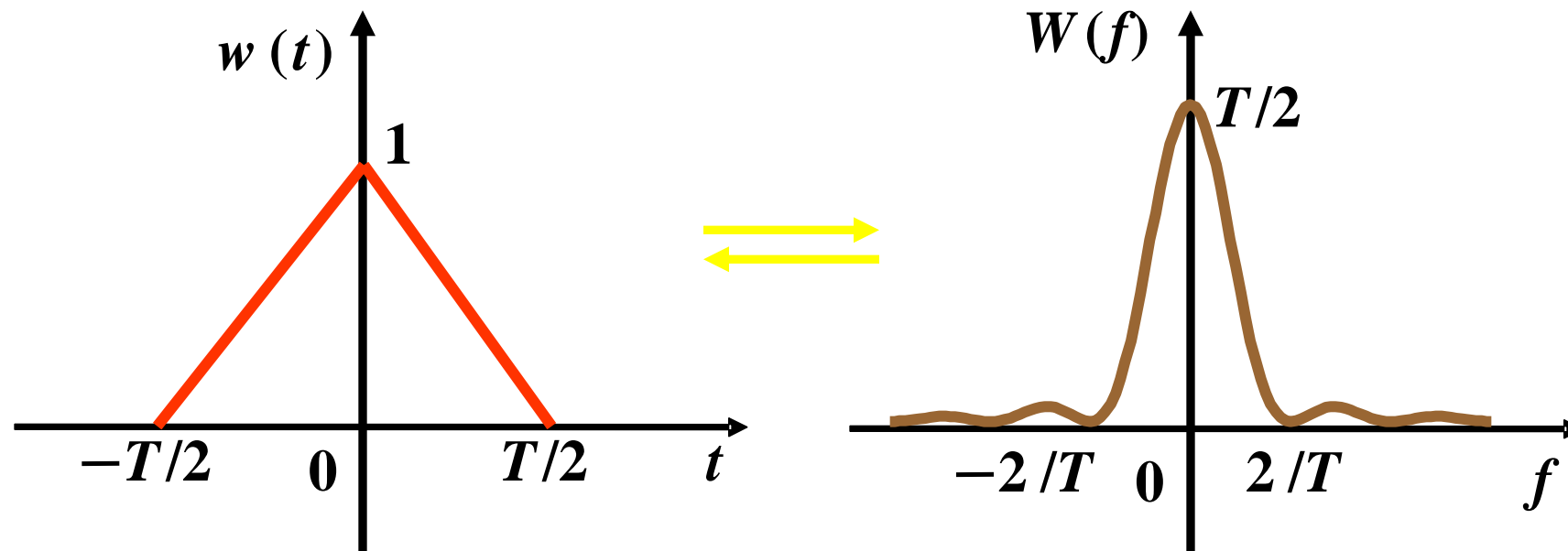


特点：主瓣最窄，频率分辨率高；旁瓣高，泄漏大。

信号数字化过程中存在的问题

2、三角窗

$$w_T(t) = \begin{cases} 1 - \frac{2}{T}|t| & |t| \leq T/2 \\ 0 & |t| > T/2 \end{cases} \quad \leftrightarrow \quad W_T(f) = \frac{T}{2} \operatorname{sinc}^2\left(\frac{\pi f T}{2}\right)$$



特点：主瓣宽，频率分辨率低；旁瓣低且无负值，泄漏小。

信号数字化过程中存在的问题

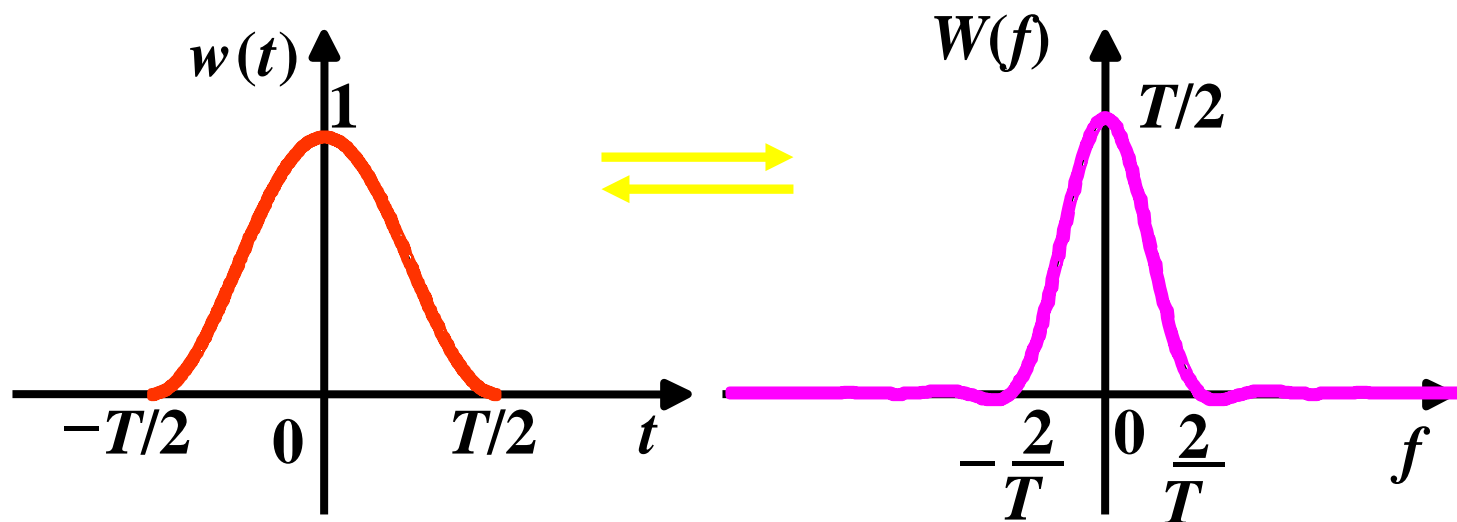
◆ 3、汉宁窗（余弦窗）

$$w(t) = \begin{cases} 0.5 + 0.5 \cos\left(\frac{2\pi t}{T}\right) & |t| < T/2 \\ 0 & |t| \geq T/2 \end{cases}$$

特点：主瓣宽，频率分辨率低；
旁瓣非常低，大大抑制泄漏。

$$W(f) = \frac{1}{2}W_R(f) + \frac{1}{4}[W_R(f + 1/T) + W_R(f - 1/T)]$$

其中 $W_R(f) = Tsinc(\pi f T)$



信号数字化过程中存在的问题

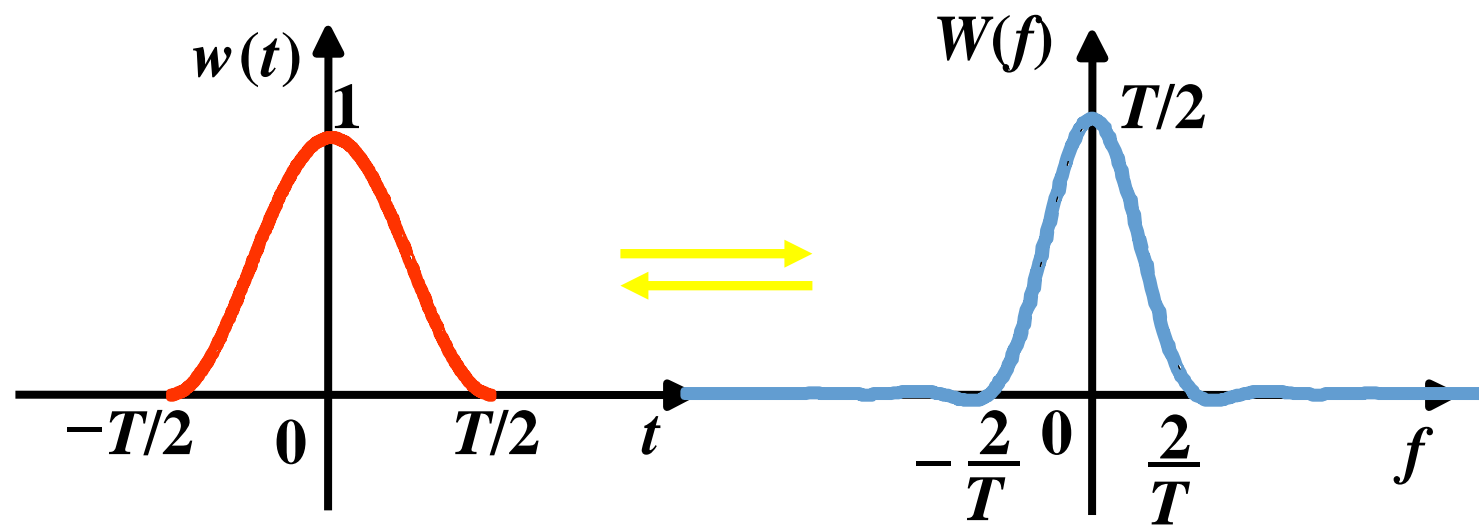
4. 哈明窗 (余弦窗) Hamming

$$w(t) = \begin{cases} 0.54 + 0.46\cos\left(\frac{2\pi t}{T}\right) & |t| < T/2 \\ 0 & |t| \geq T/2 \end{cases}$$

特点：同Hanning但旁瓣比汉宁窗衰减得快，应用也很广。

$$W(f) = 0.5W_R(f) + 0.23[W_R(f + 1/T) + W_R(f - 1/T)]$$

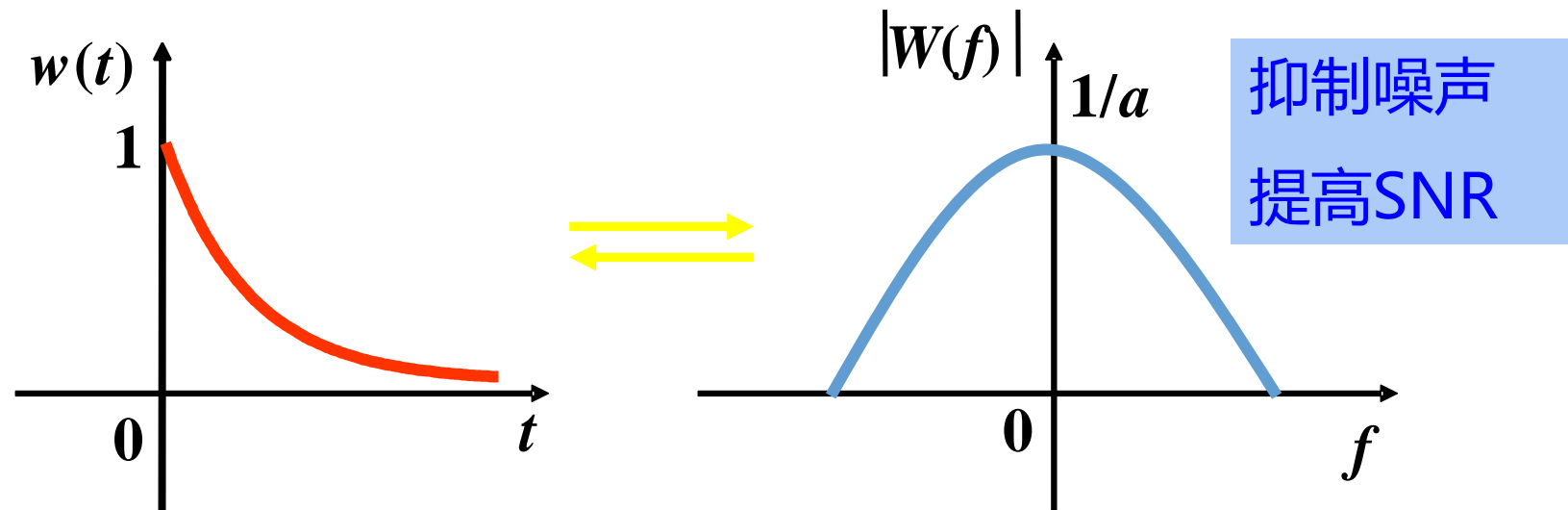
其中 $W_R(f) = Tsinc(\pi f T)$



信号数字化过程中存在的问题

5、指数窗

$$w(t) = \begin{cases} e^{-at} & t \geq 0 \\ 0 & t < 0 \end{cases} \quad a > 0 \quad \leftrightarrow \quad |W(f)| = \frac{1}{\sqrt{a^2 + (2\pi f)^2}}$$



特点：主瓣很宽，频率分辨极低；无旁瓣，大大抑制泄漏。
适于测量脉冲等随时间变化迅速衰减的信号。

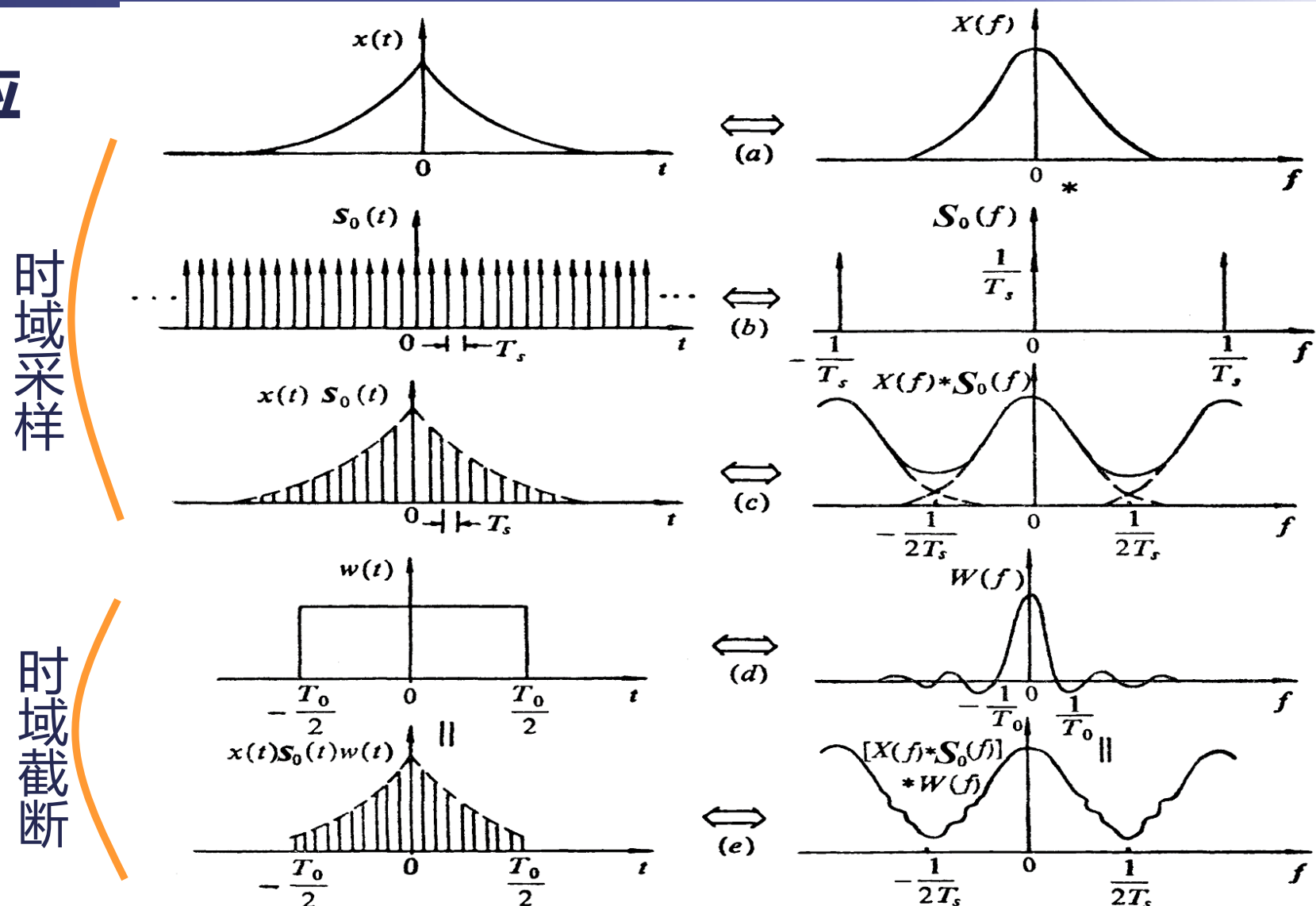
信号数字化过程中存在的问题

我们讲了多种窗函数，在选择时应依据被分析信号的性质与处理要求。

- 要求精确读出主瓣频率，而不考虑幅值精度，则可选用主瓣宽度比较窄而便于分辨的矩形窗；
- 分析窄带信号，且有较强的干扰噪声，则应选用旁瓣幅度小的窗函数，如三角窗、Hanning窗、Hamming窗；
- 对于随时间按指数衰减的函数，可采用指数窗来提高*SNR*。

信号数字化过程中存在的问题

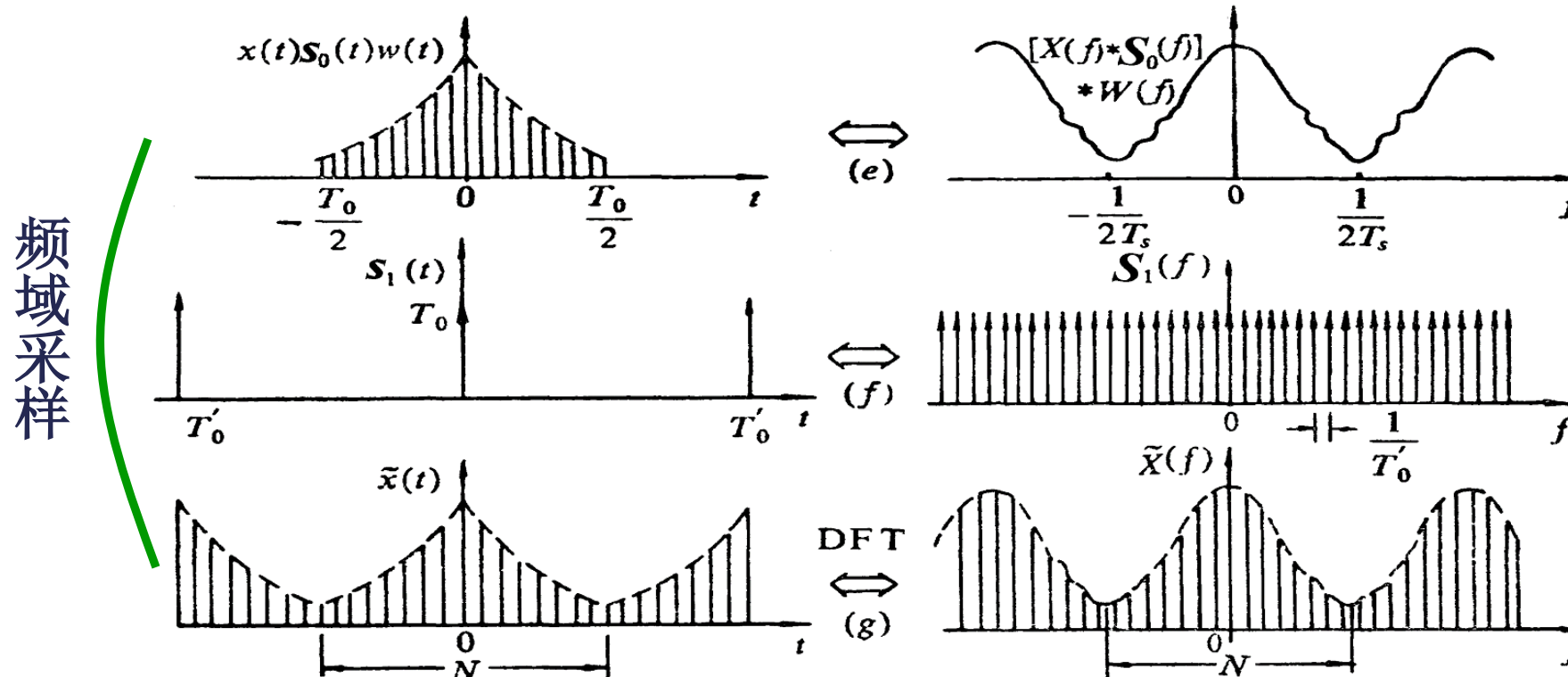
4. 频域采样与栅栏效应



信号数字化过程中存在的问题

由上图可见，经过时域采样与时域截断后，在频域内信号的频谱仍是连续的。如果使之数字化，则必须使频率离散化，进行频域采样。这一步与时域中的采样是相类似的。频域采样导致对时域截断信号进行周期延拓，将时域截断信号“改造”为周期信号。

信号数字化过程中存在的问题



经频域采样后的频谱仅在各采样点上存在，而非采样点的频谱则被“挡住”无法显示，这种现象称为栅栏效应。显然，频域采样必然带来栅栏效应。

在时域，只要满足采样定理，栅栏效应不会丢失信号信息，但在频域，则有可能丢失的重要的或具有特征的频率成分，导致谱分析结果失去意义。

信号数字化过程中存在的问题

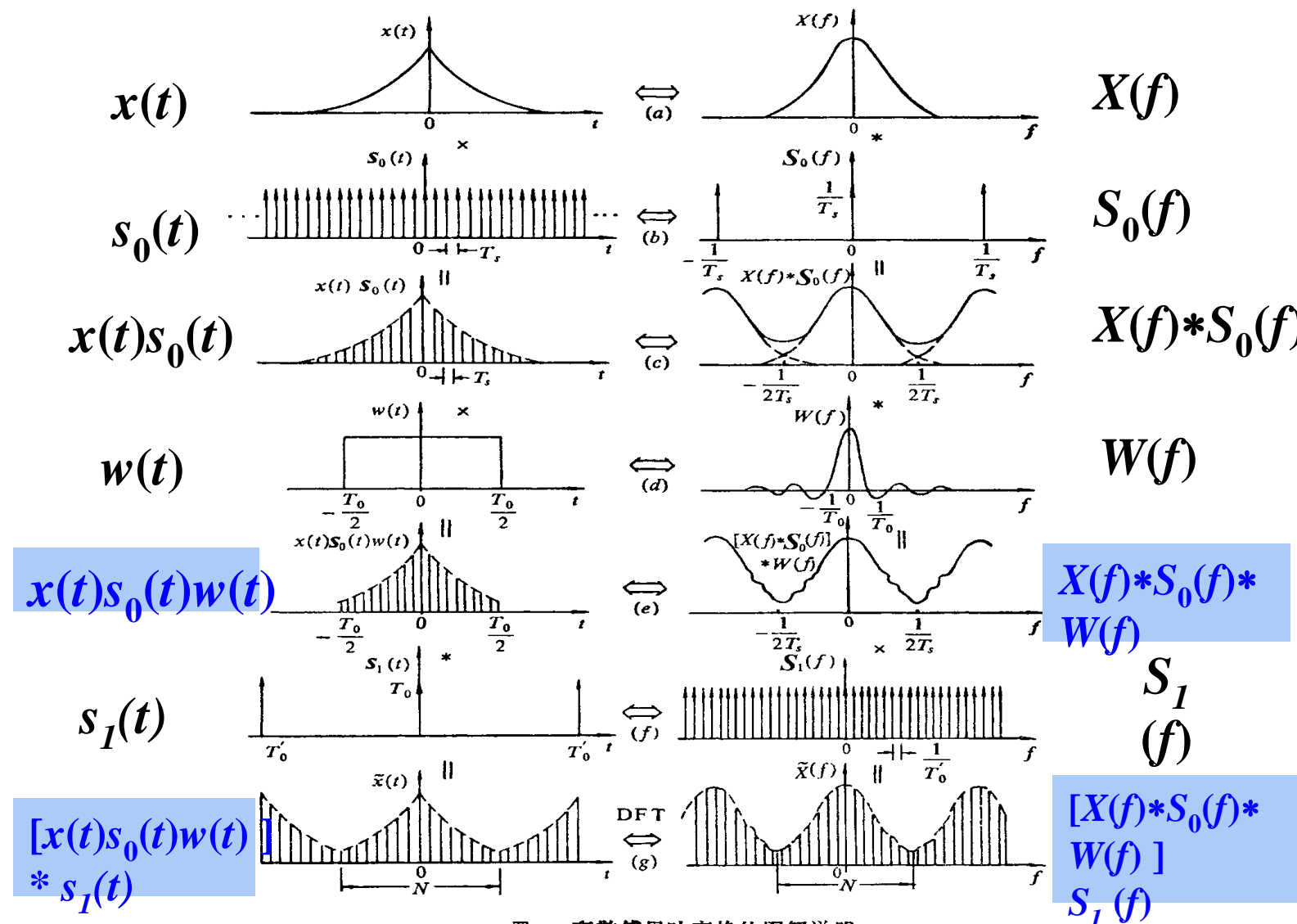


图5-2 离散傅里叶变换的图解说明

第三次作业：

见PDF



离散傅里叶变换



离散傅里叶变换

FT的定义式为

$$X(f) = \int_{-\infty}^{+\infty} x(t)e^{-j2\pi ft} dt \quad \xleftarrow{\text{正变换}}$$

$$x(t) = \int_{-\infty}^{+\infty} X(f)e^{j2\pi ft} df \quad \xleftarrow{\text{反变换}}$$

由于其连续的形式，不可能在数字系统中得到应用，必须离散化。因此，有DFT (Discrete Fourier Transform)。

离散傅里叶变换

设时域采样周期为 T_S , 进行时域离散化, 得信号序列 $x(nT_S)$ ($0 \leq n \leq N - 1$)

同时, 以 Δf 为频率间隔进行频域离散化, 得离散频谱 $X(k\Delta f)$ ($0 \leq k \leq N - 1$)

存在以下关系 $\Delta f = \frac{1}{NT_S}$ (*why?!*)

因此, 有 $T_S \rightarrow dt$ $\Delta f \rightarrow df$

$$nT_S \rightarrow t \quad k\Delta f = \frac{k}{NT_S} \rightarrow f$$

$$\sum_{n=0}^{N-1} \text{或} \sum_{k=0}^{N-1} \rightarrow \int_{-\infty}^{+\infty}$$

离散傅里叶变换

代入FT与IFT的定义式, $X(f) = \int_{-\infty}^{+\infty} x(t)e^{-j2\pi ft} dt$ 和 $x(t) = \int_{-\infty}^{+\infty} X(f)e^{j2\pi ft} df$ 得

$$\begin{aligned} X(k\Delta f) &= \sum_{n=0}^{N-1} x(nT_s) e^{-j2\pi \times \frac{k}{NT_s} \times nT_s} T_s \\ &= T_s \sum_{n=0}^{N-1} x(nT_s) e^{-j\frac{2\pi}{N} \times kn} \quad (0 \leq k \leq N-1) \end{aligned}$$

$$\begin{aligned} x(nT_s) &= \sum_{k=0}^{N-1} X(k\Delta f) e^{j2\pi \times \frac{k}{NT_s} \times nT_s} \frac{1}{NT_s} \\ &= \frac{1}{NT_s} \sum_{n=0}^{N-1} X(k\Delta f) e^{j\frac{2\pi}{N} \times kn} \quad (0 \leq n \leq N-1) \end{aligned}$$

将 T_s 和 Δf 归一化, 得

离散傅里叶变换

离散傅里叶变换:

N个主值序列

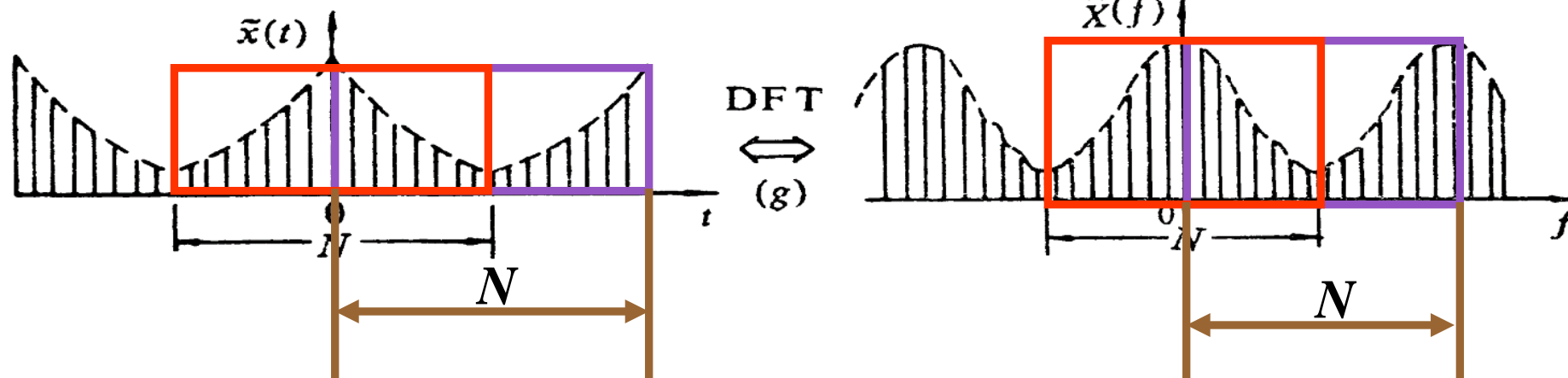
$$W_N = e^{-j2\pi/N}$$

DFT

$$X(k) = \begin{cases} \sum_{n=0}^{N-1} x(n) W_N^{kn} & 0 \leq k \leq N-1 \\ 0 & \text{其它} \end{cases}$$

IDFT

$$x(n) = \begin{cases} \frac{1}{N} \sum_{k=0}^{N-1} X(k) W_N^{-kn} & 0 \leq n \leq N-1 \\ 0 & \text{其它} \end{cases}$$



离散傅里叶变换

频率分辨率、整周期截断

频率采样间隔 Δf 决定了频率分辨率。 Δf 越小，分辨率越高，被挡住的频率成分越少。

由于DFT在频域的一个周期内（周期为： $1/T_s$ ）输出 N 个有效谱值，故频率间隔为：

$$\Delta f = \frac{1/T_s}{N} = \frac{f_s}{N} = \frac{1}{T}$$

显然，可以通过降低 f_s 或提高 N 以提高 Δf 。①但前者受采样定理的限制，不可能随意降低，②后者必然增加计算量。

为了解决上述矛盾，可以采用ZOOM-FFT或Chirp-Z变换，或采用基于模型的现代谱分析技术。

离散傅里叶变换

由于谱线是离散的，因此频谱谱线对应的频率值都是 Δf 整数倍。对于简谐信号，为了得到特定频率 f_0 的谱线，必须满足：

$$\frac{f_0}{\Delta f} = \text{整数} \quad \xrightarrow{\text{ }} \quad \frac{T}{T_0} = \text{整数}$$

T : 信号分析时长。 T_0 : 频率为 f_0 信号的周期。

上式表明：只有信号的截断长度 T 为待分析信号周期的整数倍时，才可能使谱线落在 f_0 ，获得准确的频谱

整周期截断

离散傅里叶变换

DFT是离散信号分析的有力工具，但是，这种方法的特点是计算工作量很大，实际应用起来很是困难。

在1965年，美国人J.W Cooley-W.Tukey（图利 - 库基）首先提出了DFT的一种快速算法——FFT（Fast Fourier Transform），这种快速算法使得计算工作量大大减少，从而使时域问题转换到频域的高效处理成为可能，一度被认为是信号分析技术划时代进步。

离散傅里叶变换

- 长度为N的有限长序列x(n)的DFT为

$$X(k) = \sum_{n=0}^{N-1} x(n)W_N^{kn}, k = 0, 1, \dots, N-1$$

- 考虑x(n)为复数序列的一般情况，对某一个k值，直接按此公式计算X(k)值需要N次复数乘法、(N-1)次复数加法。

N点DFT则需：

N^2 次复数乘法
 $N(N-1)$ 次复数加法。

离散傅里叶变换

□ N点DFT的复乘次数等于 N^2 。显然，把N点DFT分解为几个较短的DFT，可使乘法次数大大减少

□ 旋转因子 W_N^m 具有明显的周期性和对称性。其周期性表现为

$$W_N^{m+lN} = e^{-j\frac{2\pi}{N}(m+lN)} = e^{-j\frac{2\pi}{N}m} = W_N^m$$

其对称性表现为

$$W_N^{-m} = W_N^{N-m} \text{ 或者 } [W_N^{N-m}]^* = W_N^m$$

$$W_N^{m+\frac{N}{2}} = -W_N^m$$

$$W_N = e^{-j\frac{2\pi}{N}}$$

离散傅里叶变换

$$W_N^{in} = W_{N/i}^n$$

$$W_N = e^{-j\frac{2\pi}{N}}$$

$$W_N^n = (W_N^{-n})^*$$

离散傅里叶变换

- 设序列 $x(n)$ 的长度为 N , 且满足

$$N = 2^M, \quad M \quad \text{为自然数}$$

按n的奇偶性将 $x(n)$ 分解为两个 $N/2$ 点的子序列

$$x_1(r) = x(2r), \quad r = 0, 1, \dots, \frac{N}{2} - 1$$

$$x_2(r) = x(2r + 1), \quad r = 0, 1, \dots, \frac{N}{2} - 1$$

离散傅里叶变换

- 则 $x(n)$ 的 DFT 为

$$\begin{aligned} X(k) &= \sum_{n=0}^{N/2-1} x(n) W_N^{kn} + \sum_{n=N/2}^{N-1} x(n) W_N^{kn} \\ &= \sum_{r=0}^{N/2-1} x(2r) W_N^{2kr} + \sum_{r=0}^{N/2-1} x(2r+1) W_N^{k(2r+1)} \\ &= \sum_{r=0}^{N/2-1} x_1(r) W_N^{2kr} + W_N^k \sum_{r=0}^{N/2-1} x_2(r) W_N^{2kr} \end{aligned}$$

由于 $W_N^{2kr} = e^{-j\frac{2\pi}{N}2kr} = e^{-j\frac{\pi}{N}kr} = W_{N/2}^{kr}$

所以 $X(k) = \sum_{r=0}^{N/2-1} x_1(r) W_{N/2}^{kr} + W_N^k \sum_{r=0}^{N/2-1} x_2(r) W_{N/2}^{kr} = X_1(k) + W_N^k X_2(k)$

离散傅里叶变换

- 其中 $X_1(k)$ 和 $X_2(k)$ 分别为 $x_1(r)$ 和 $x_2(r)$ 的 N/2点DFT，即

$$X_1(k) = \sum_{r=0}^{N/2-1} x_1(r) W_{N/2}^{kr} = DFT[x_1(r)]$$

$$X_2(k) = \sum_{r=0}^{N/2-1} x_2(r) W_{N/2}^{kr} = DFT[x_2(r)]$$

由于 $X_1(k)$ 和 $X_2(k)$ 均以 $N/2$ 为周期，且 $W_N^{k+\frac{N}{2}} = -W_N^k$ 所以 $X(k)$ 又可表示为

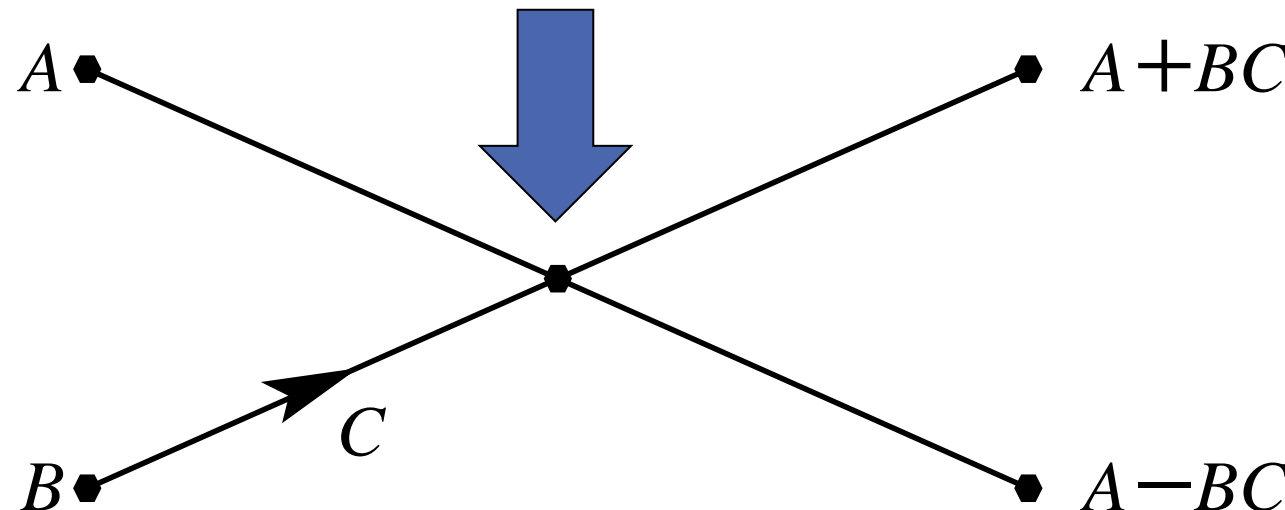
$$X(k) = X_1(k) + W_N^k X_2(k) \quad k = 0, 1, \dots, \frac{N}{2} - 1$$

$$X\left(k + \frac{N}{2}\right) = X_1(k) - W_N^k X_2(k) \quad k = 0, 1, \dots, \frac{N}{2} - 1$$

离散傅里叶变换

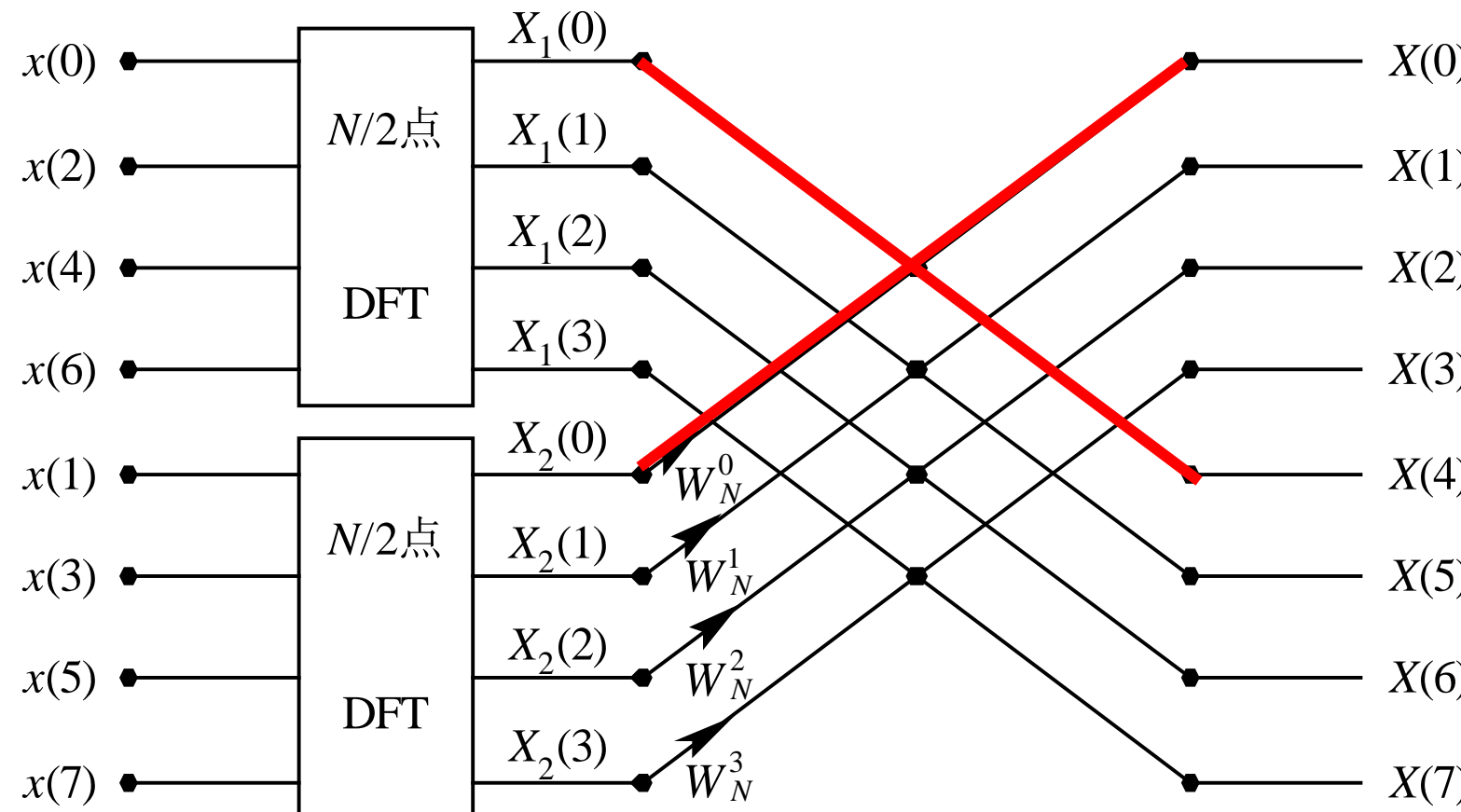
$$X(k) = X_1(k) + W_N^k X_2(k) \quad k = 0, 1, \dots, \frac{N}{2} - 1$$

$$X\left(k + \frac{N}{2}\right) = X_1(k) - W_N^k X_2(k) \quad k = 0, 1, \dots, \frac{N}{2} - 1$$



蝶形运算符号

离散傅里叶变换



N点DFT的一次时域抽取分解图(N=8)

$$X(k) = X_1(k) + W_N^k X_2(k) \quad k = 0, 1, \dots, \frac{N}{2} - 1$$

$$X(k + \frac{N}{2}) = X_1(k) - W_N^k X_2(k) \quad k = 0, 1, \dots, \frac{N}{2} - 1$$

离散傅里叶变换

与第一次分解相同，将 $x_1(r)$ 按奇偶分解成两个 $N/4$ 长的子序列 $x_3(l)$ 和 $x_4(l)$ ，即

$$\left. \begin{array}{l} x_3(l) = x_1(2l) \\ x_4(l) = x_1(2l+1) \end{array} \right\}, l = 0, 1, \dots, \frac{N}{4} - 1$$

那么， $X_1(k)$ 又可表示为

$$\begin{aligned} X_1(k) &= \sum_{i=0}^{N/4-1} x_1(2l) W_{N/2}^{2kl} + \sum_{i=0}^{N/4-1} x_1(2l+1) W_{N/2}^{k(2l+1)} \\ &= \sum_{i=0}^{N/4-1} x_3(l) W_{N/4}^{kl} + W_{N/2}^k \sum_{i=0}^{N/4-1} x_4(l) W_{N/4}^{kl} \\ &= \textcolor{brown}{X}_3(k) + W_{N/2}^k X_4(k), k = 0, 1, \dots, N/2 - 1 \end{aligned}$$

离散傅里叶变换

式中 $X_3(k) = \sum_{l=0}^{N/4-1} x_3(l)W_{N/4}^{kl} = DFT[x_3(l)]$

$$X_4(k) = \sum_{l=0}^{N/4-1} x_4(l)W_{N/4}^{kl} = DFT[x_4(l)]$$

同理，由 $X_3(k)$ 和 $X_4(k)$ 的周期性和 $W_{N/2}^m$ 的对称性 $W^{k+N/4}_{N/2} = -W^k_{N/2}$ 最后得到：

$$\left. \begin{aligned} X_1(k) &= X_3(k) + W_{N/2}^k X_4(k) \\ X_1(k + N/4) &= X_3(k) - W_{N/2}^k X_4(k) \end{aligned} \right\}, k = 0, 1, \dots, N/4 - 1$$

离散傅里叶变换

用同样的方法可计算出

$$\left. \begin{aligned} X_2(k) &= X_5(k) + W_{N/2}^k X_6(k) \\ X_2(k + N/4) &= X_5k - W_{N/2}^k X_6(k) \end{aligned} \right\}, k = 0, 1, \dots, N/4-1$$

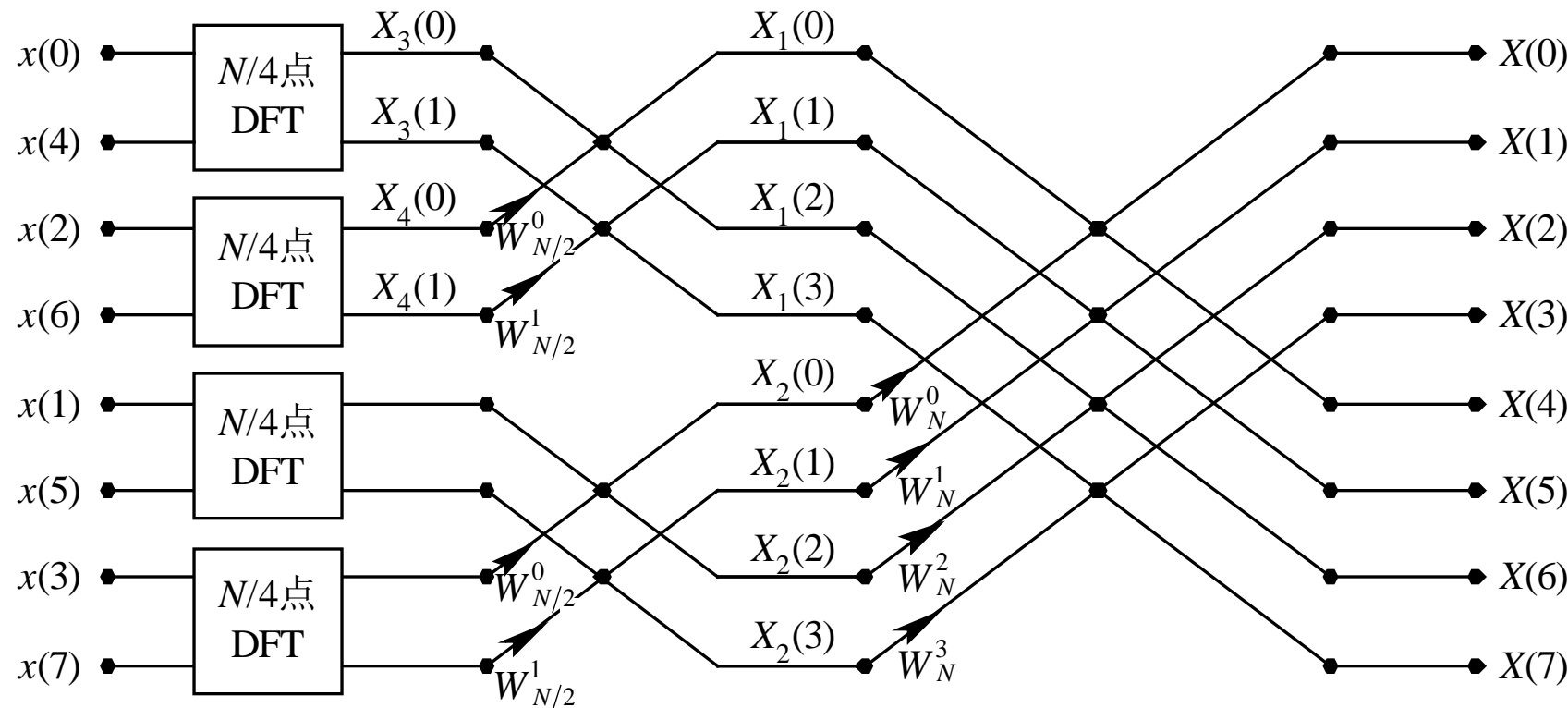
其中

$$X_5(k) = \sum_{l=0}^{N/4-1} x_5(l) W_{N/4}^{kl} = DFT[x_5(l)]$$

$$X_6(k) = \sum_{l=0}^{N/4-1} x_6(l) W_{N/4}^{kl} = DFT[x_6(l)]$$

$$\left. \begin{aligned} x_5(l) &= x_2(2l) \\ x_6(l) &= x_2(2l+1) \end{aligned} \right\}, l = 0, 1, \dots, N/4-1$$

离散傅里叶变换

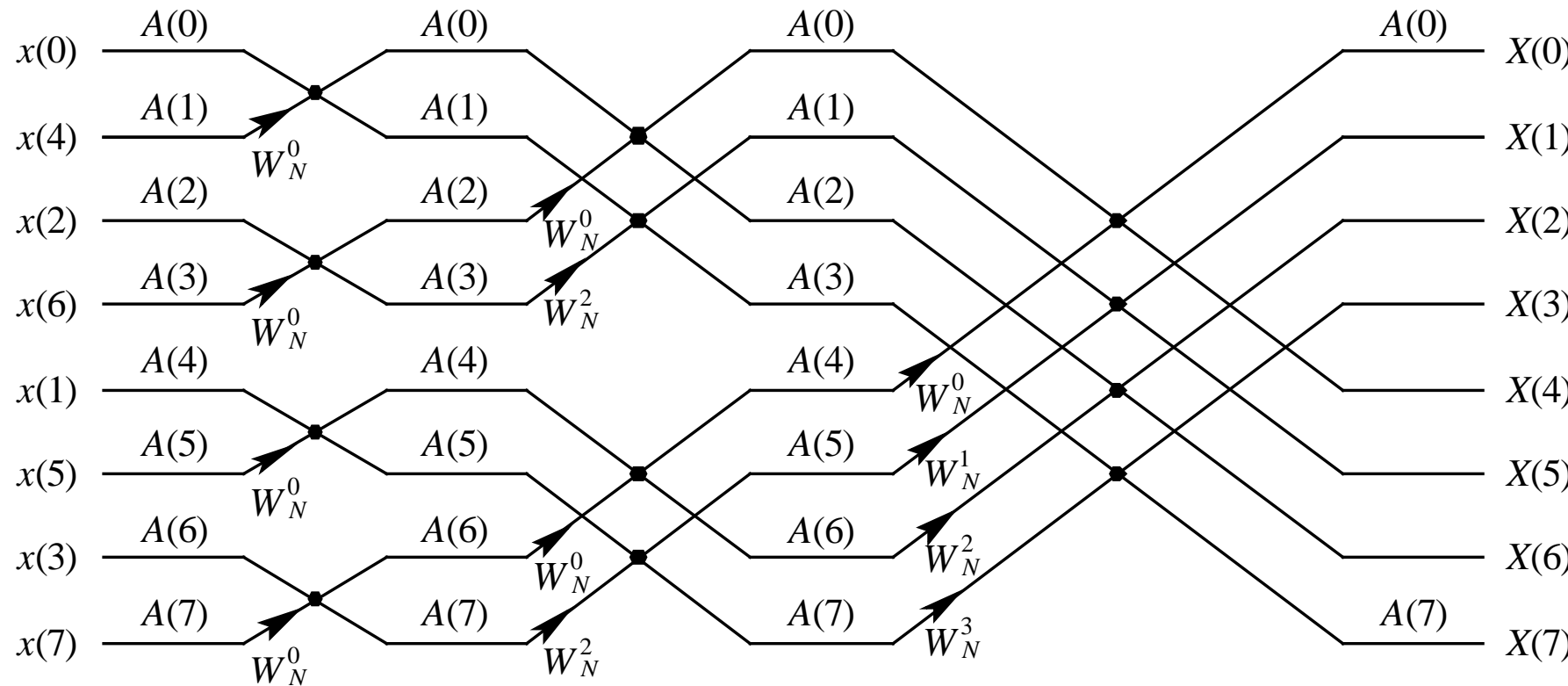


N点DFT的第二次时域抽取分解图($N=8$)

$$X(k) = X_1(k) + W_N^k X_2(k) \quad k = 0, 1, \dots, \frac{N}{2} - 1$$

$$X\left(k + \frac{N}{2}\right) = X_1(k) - W_N^k X_2(k) \quad k = 0, 1, \dots, \frac{N}{2} - 1$$

离散傅里叶变换



N点DIT-FFT运算流图($N=8$)

$$X(k) = X_1(k) + W_N^k X_2(k) \quad k = 0, 1, \dots, \frac{N}{2} - 1$$

$$X\left(k + \frac{N}{2}\right) = X_1(k) - W_N^k X_2(k) \quad k = 0, 1, \dots, \frac{N}{2} - 1$$

离散傅里叶变换

DIT-FFT每一级运算都需要 $N/2$ 次复数乘和 N 次复数加(每个蝶形需要两次复数加法)。

所以， M 级运算总共需要的复数乘次数为

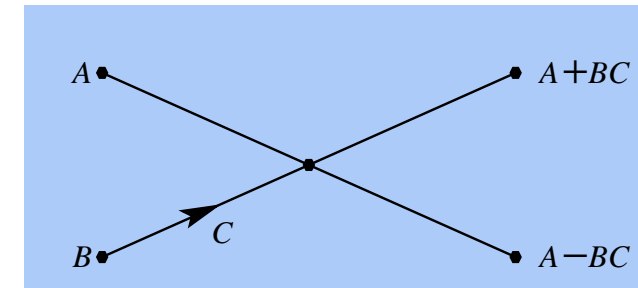
$$C_M(2) = \frac{N}{2} \cdot M = \frac{N}{2} \log_2 N$$

复数加次数为

$$C_A(2) = N \cdot M = N \log_2 N$$

例如， $N=2^{10}=1024$ 时($m=10$),复数乘法计算比较

$$\frac{N^2}{(N/2)\log_2 N} = \frac{1048576}{5120} = 204.8$$

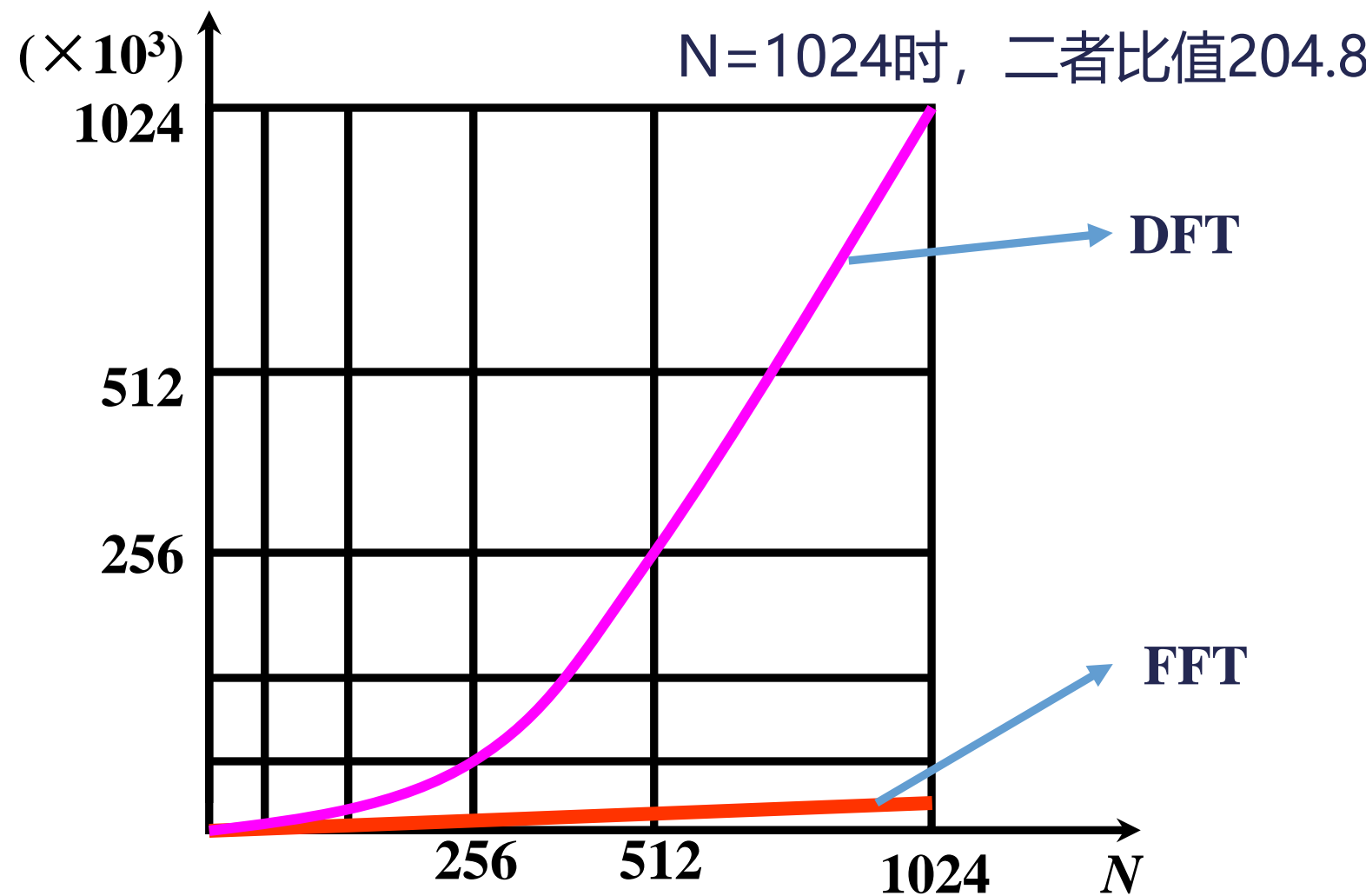


离散傅里叶变换

DFT与FFT的计算工作量比较：

$N=256$ 时，二者比值64

$N=1024$ 时，二者比值204.8



謝謝

